

T.	Image	Image	U <sub>f</sub>	I <sub>f</sub>	U <sub>b</sub>	R <sub>g2</sub>	U <sub>a</sub>	U <sub>g2</sub>	U <sub>g1</sub>	I <sub>a</sub>	I <sub>g2</sub>	S	R <sub>i</sub>	R <sub>k</sub>	I <sub>k</sub>	P <sub>a</sub>	P <sub>g2</sub>	U <sub>fjk</sub>
EAF 21	Tu	1	6,3	0,33			{250 <sup>1)</sup> 300	100	-2	6	1,6	2,8 ÷ 0,028	1,5					
UAF 21	Tu	1	20	0,1				125		maximum					10	2	0,3	100
EAF 41	eur	2	6,3	0,2	{250	95	250	100	-2 ÷ -40	5	1,6	1,8 ÷ 0,018	1,2	300	10	2	0,3	50
							300	125		maximum								
EAF 42	eur	3	6,3	0,2	{250 250	110	250	85	-2 ÷ -43	5	1,5	2 ÷ 0,02	1,4	310				
						68	250	145	-2 ÷ -43	6,9	2,1	2,15 ÷ 0,021	1,4	220				
							300	125		maximum					10	2	0,3	100
EAF 81	eur	4	6,3	0,3	{250	51	250	100	-2 ÷ -46	9	3	3,6 ÷ 0,036	1	165				
							300	150		maximum					16	2,25	0,4	100
UAF 41	eur	2	12,6	0,1	{100 170 200	44	100	60	-1 ÷ -17	2,8	0,9	1,65 ÷ 0,016	1	300				
						44	170	100	-2 ÷ -28	5	1,6	1,8 ÷ 0,018	1,2	300				
						44	200	115	-2,4 ÷ -34	6	1,9	1,9 ÷ 0,019	1,3	300				
							250	150		maximum					10	2	0,3	150
UAF 42	eur	3	12,6	0,1	{100 170 200	56	100	50	-1,2 ÷ -16	2,8	0,9	1,7 ÷ 0,017	0,85					
						56	170	85	-2 ÷ -28	5	1,5	2 ÷ 0,02	0,9					
						76	200	85	-2 ÷ -34	5	1,5	2 ÷ 0,02	1					
							250	125		maximum					10	2	0,3	150
6 B 2 II	CCCP	5	6,3	0,3	{100		250	100	-1,5	6,5	1,6	2,7						
							250	100										
6 CR 6	amer	6	6,3	0,3	{250		{250	100	-2 ÷ -32	9,6	2,6	2,2 ÷ 0,01	0,8					
12 CR 6	amer	6	12,6	0,15	{300		{300	150	maximum									
							100	100	-1 ÷ -35	12	3,4	1,97 ÷ 0,01	0,2					
6 SF 7	amer	7	6,3	0,3	{250		{250	100	-1 ÷ -35	12,4	3,3	2,05 ÷ 0,01	0,7					
12 SF 7	amer	7	12,6	0,15	{300		{300	100		maximum								
							100	100							2,5	0,3	100	
															3,5	0,5		

1) UAF 21, U<sub>a</sub> = 200 V

T.		$U_a$		$I_a$	$I_{a(p)}$
		V	V		
EAF 21	diode	200	350	0,8	5
EAF 41					
EAF 42					
UAF 41					
UAF 42					
EAF 81	diode	200		5	
6 CR 6	stat.	10		2	

T.		$C_{g1/k}$		$C_{d1/k}$	$C_{g1/a}$		$C_{g1/f}$		$C_{aD/k}$		$C_{aD/aP}$		$C_{aD/g1}$	
		pF	pF		pF	pF	pF	pF	pF	pF	pF	pF	pF	pF
EAF/UAF 21		5	0,002	8	0,002									
EAF/UAF 41		4	0,002	6,5	0,002	0,05			0,02	0,15		0,0015		
EAF/UAF 42		4,1	0,002	5,2	0,002	0,05			0,02	0,15		0,0015		
EAF 81		5,3	0,002	5,5	0,002									
6 B 2 II		4,2	0,008	4,1	0,008									
6/12 SF 7		5,5	0,004	6	0,004									

Equivalents

D 61	Maz = EAF 41	WD 142	Marc = UAF 42
D 121	Maz = UAF 41	WD 150	Marc = EAF 42
И-100	CCCPC = 6 B 2 II	6 CT 7	amer = EAF 42

EAF 41 Fig. 3 ( $U_b = 250$  V)

$R_a$	$R_{g2}$	$R_k$	$U_{g1}$	$I_a$	$I_{g2}$	$\mu$	$U_{a\approx}$	$h$
100	400	0,9	{ 0 -10 -25	1,57	0,5	85	3 ÷ 10	0,9 ÷ 2,5
				0,91	0,28	16	3 ÷ 10	2,2 ÷ 4,1
				0,36	0,12	6	3 ÷ 10	2,5 ÷ 9
			{ 0 -10 -25	0,86	0,28	105	3 ÷ 10	1 ÷ 2,7
200	800	1,6		0,56	0,18	21	3 ÷ 10	1,1 ÷ 3,9
				0,24	0,08	8	3 ÷ 10	1,8 ÷ 7,5

EAF 41 Fig. 5 ( $U_b = 250$  V)

$R_a$	$R_k$	$U_g$	$I_a + I_{g2}$	$\mu$	$U_{a\approx}$	$h$
100	0,9	{ 0 -10 -25	1,95	15,5	3 ÷ 10	1,4 ÷ 5,2
			1,1	6	3 ÷ 10	0,9 ÷ 3
			0,45	3,3	3 ÷ 10	1,6 ÷ 5,2
		{ 0 -10 -25	3,6	15,5	3 ÷ 10	1,1 ÷ 3,8
50	0,5		1,85	5,9	3 ÷ 10	1,1 ÷ 4
			0,65	2,8	3 ÷ 10	2,4 ÷ 8,0

ЕАФ 42 Fig. 2 ( $U_b = 250$  V)

$U_a$	$U_{g2}$	$U_{g1}$	$R_1$	$R_2$	$R_k$	$I_a$	$I_{g2}$	S	$R_i$
V	V	V	kΩ	kΩ	Ω	mA	mA	mA/V	MΩ
250	105 ÷ 147	-2 ÷ -23,5	18	27	220	6,9	2,1	2,15 ÷ 0,021	1,4 ÷ 10
250	85 ÷ 137	-2 ÷ -20,5	22	27	310	5	1,5	2 ÷ 0,02	1,4 ÷ 10

ЕАФ 42 Fig. 3 ( $U_b = 250$  V)

$R_a$	$R_{g2}$	$R_k$	$U_{g1}$	$I_a$	$I_{g2}$	$\mu$	$U_{a\approx}$	h
kΩ	kΩ	kΩ	V	mA	mA	$U_{a\approx}/U_{g\approx}$	V	%
100	390	0,68	0	1,52	0,53	100	3 ÷ 8	0,8 ÷ 1
			-5	1,2	0,4	35	3 ÷ 8	1 ÷ 2,4
			-10	0,94	0,3	20	3 ÷ 8	1,2 ÷ 3,2
			-15	0,7	0,23	13	3 ÷ 8	1,4 ÷ 3,7
			-20	0,52	0,17	9	3 ÷ 8	1,8 ÷ 6
220	820	1,5	0	0,8	0,26	120	3 ÷ 8	0,9 ÷ 1,2
			-5	0,65	0,2	40	3 ÷ 8	1,3 ÷ 2,5
			-10	0,52	0,17	23	3 ÷ 8	1,3 ÷ 2,7
			-15	0,41	0,14	16	3 ÷ 8	1,5 ÷ 3,2
			-20	0,31	0,11	11	3 ÷ 8	1,8 ÷ 5,5

ЕАФ 42 Fig. 5 ( $U_b = 250$  V)

$R_a$	$R_k$	$U_g$	$I_a + I_{g2}$	$\mu$	$U_{a\approx}$	h
kΩ	kΩ	V	mA	$U_{a\approx}/U_{g\approx}$	V	%
50	0,39	0	3,8	14	3 ÷ 8	0,7 ÷ 1,1
		-5	2,7	9	3 ÷ 8	1,1 ÷ 2,6
		-10	2	6,5	3 ÷ 8	1,1 ÷ 2,6
		-15	1,44	5	3 ÷ 8	1,1 ÷ 2,6
		-20	1,05	4	3 ÷ 8	1,4 ÷ 3,4
100	0,68	0	2	15	3 ÷ 8	0,9 ÷ 1,2
		-5	1,5	8,5	3 ÷ 8	1,1 ÷ 2,4
		-10	1,17	6	3 ÷ 8	1,1 ÷ 2,4
		-15	0,9	5	3 ÷ 8	1,1 ÷ 2,4
		-20	0,68	4	3 ÷ 8	1,2 ÷ 2,6

ЕАФ 42 Fig. 4 ( $U_b = 250$  V)

$R_a$	$R_{g2}$	$R_g$	$I_a$	$I_{g2}$	$\mu$	$U_{a\approx}$	h
kΩ	kΩ	kΩ	mA	mA	$U_{a\approx}/U_{g\approx}$	V	%
100	390	330	1,6	0,56	100	3 ÷ 8	0,35 ÷ 0,7
220	1000	680	0,76	0,23	160	3 ÷ 8	0,55 ÷ 1

ЕАФ 42 Fig. 6 ( $U_b = 250$  V)

$R_a$	$R_g$	$I_a + I_{g2}$	$\mu$	$U_{a\approx}$	h
kΩ	kΩ	mA	$U_{a\approx}/U_{g\approx}$	V	%
47	150	4,5	13,5	3 ÷ 8	0,5 ÷ 1,4
100	330	2,15	14	3 ÷ 8	0,7 ÷ 2

UAF 41 Fig. 5 ( $R_a = 100 \text{ k}\Omega$ )

$U_b$	$R_k$	$U_g$	$I_a + I_{g^2}$	$\mu$	$U_{a\approx}$	$h$
V	k $\Omega$	V	mA		V	%
100	2,3	0	0,55	12	3 ÷ 5	1,9 ÷ 2,8
		- 5	0,3	4,9	3 ÷ 5	2,3 ÷ 4,9
		-10	0,15	2,8	3 ÷ 5	6 ÷ 10
170	1,2	0	1,3	15	3 ÷ 8	1,2 ÷ 3,4
		-10	0,6	5	3 ÷ 8	1,3 ÷ 3
		-20	0,2	2,6	3 ÷ 8	4 ÷ 9,5

UAF 41 Fig. 3 ( $R_a = 200 \text{ k}\Omega$ ;  $R_{g^2} = 730 \text{ k}\Omega$ ;  $R_k = 2,7 \text{ k}\Omega$ )

$U_b$	$U_{g^1}$	$I_a$	$I_{g^2}$	$\mu$	$U_{a\approx}$	$h$
V	V	mA	mA		V	%
100	0	0,34	0,1	73	3 ÷ 5	0,8 ÷ 1
	- 7,5	0,16	0,04	10	3 ÷ 5	3,8 ÷ 5,7
	-12,5	0,08	0,01	5,5	3 ÷ 5	5,7 ÷ 9
170	0	0,58	0,18	78	3 ÷ 8	0,8 ÷ 1,6
	-15	0,26	0,05	10	3 ÷ 8	2,6 ÷ 5,8
	-25	0,12	0,01	5	3 ÷ 8	5,1 ÷ 13

UAF 42 Fig. 5

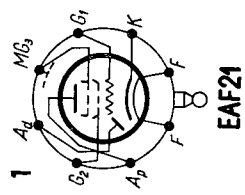
$U_b$	$R_a$	$R_k$	$U_{g^1}$	$I_a + I_{g^2}$	$\mu$	$U_{a\approx}$	$h$
V	k $\Omega$	k $\Omega$	V	mA		V	%
100	50	1,2	0	1,18	12	3 ÷ 5	1,7 ÷ 2,6
			- 5	0,56	5	3 ÷ 5	3,6 ÷ 5,7
			-10	0,24	2,5	3 ÷ 5	6,5 ÷ 10
100	100	1,8	0	0,7	12	3 ÷ 5	2 ÷ 2,2
			- 5	0,36	5	3 ÷ 5	2,4 ÷ 4,5
			-10	0,17	3	3 ÷ 5	4,2 ÷ 6,6
170	50	1,2	0	2,05	12	3 ÷ 8	1,3 ÷ 2,9
			-10	0,92	4,5	3 ÷ 8	1,7 ÷ 4,8
			-20	0,32	2,2	3 ÷ 8	4,5 ÷ 11
170	100	1,8	0	1,2	12	3 ÷ 8	1,4 ÷ 3,2
			-10	0,58	5	3 ÷ 8	1,4 ÷ 3,8
			-20	0,22	2,5	3 ÷ 8	3,2 ÷ 8

UAF 42 Fig. 3

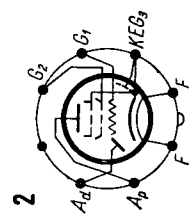
$U_b$	$R_a$	$R_{g^2}$	$R_k$	$U_{g^1}$	$I_a$	$I_{g^2}$	$\mu$	$U_{a\approx}$	$h$
V	k $\Omega$	k $\Omega$	k $\Omega$	V	mA	mA		V	%
100	100	330	1,5	0	0,58	0,21	60	3 ÷ 5	0,9 ÷ 1
				- 5	0,31	0,1	12	3 ÷ 5	3,5 ÷ 6
				-10	0,14	0,05	5	3 ÷ 5	7 ÷ 11
100	220	820	2,7	0	0,29	0,09	75	3 ÷ 5	0,9 ÷ 1,1
				- 5	0,17	0,05	15	3 ÷ 5	3,2 ÷ 5
				-10	0,1	0,03	7	3 ÷ 5	5,2 ÷ 8
170	100	330	1,5	0	1,05	0,37	68	3 ÷ 8	0,75 ÷ 1,1
				-10	0,48	0,17	10	3 ÷ 8	2,4 ÷ 5,5
				-20	0,16	0,07	3,5	3 ÷ 8	5,2 ÷ 12
170	220	820	2,7	0	0,5	0,17	80	3 ÷ 8	0,8 ÷ 1,2
				-10	0,28	0,09	14	3 ÷ 8	1,9 ÷ 5
				-20	0,14	0,04	6	3 ÷ 8	3,6 ÷ 9

UAF 42 Fig. 2 ( $U_{g3} = 0$  V)

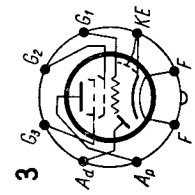
$U_b$	$U_a$	$U_{g2}$	$U_{g1}$	$R_1$	$R_2$	$R_k$	$I_a$	$I_{g2}$	S	$R_i$
V	V	V	V	k $\Omega$	k $\Omega$	$\Omega$	mA	mA	mA/V	M $\Omega$
100	100	53 ÷ 69	-1 ÷ -10,5	12	27	250	3	1	1,85 ÷ 0,018	0,75 ÷ 10
100	100	43 ÷ 58	-1 ÷ -9,5	15	22	330	2,3	0,65	1,5 ÷ 0,015	0,95 ÷ 10
170	170	87 ÷ 117	-1,8 ÷ -18	12	27	250	5,5	1,7	2,1 ÷ 0,021	0,8 ÷ 10
170	170	70 ÷ 99	-1,8 ÷ -15,5	15	22	330	4	1,1	1,75 ÷ 0,017	0,95 ÷ 10



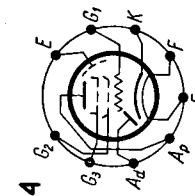
EAF21



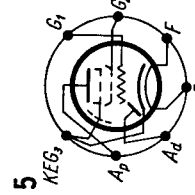
EAF41



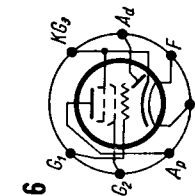
EAF42



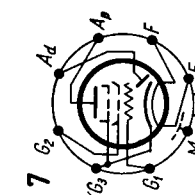
EAF81



652Pi



6CR6



6SF7

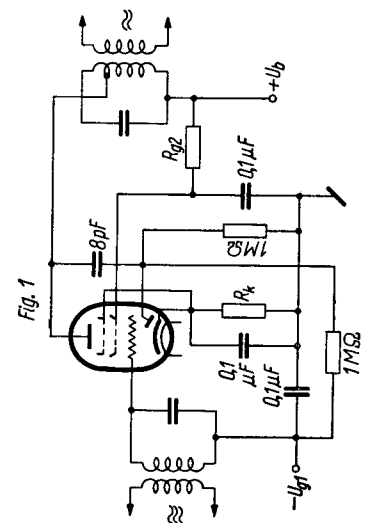


Fig. 1

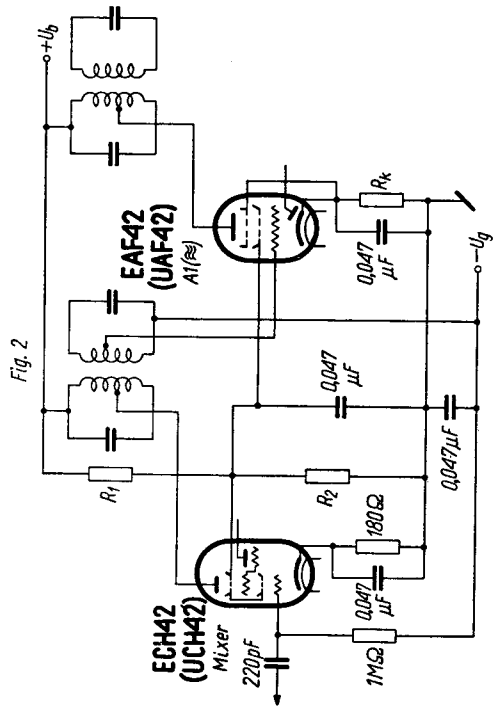


Fig. 2

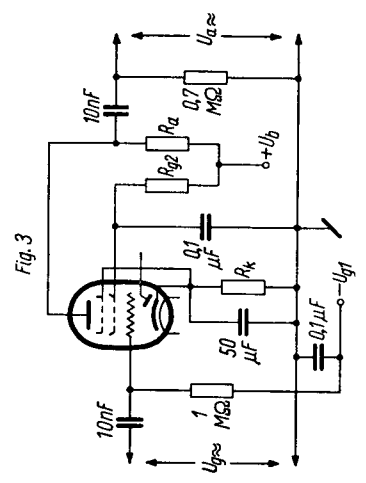


Fig. 3

